

Blade R downlight

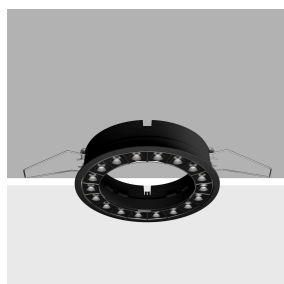
Design iGuzzini

iGuzzini

Dernière mise à jour des informations: Avril 2025

Configuration du produit: QS42

QS42: Frame Ø 170 - Flood beam - LED



Technical drawing of a circular manhole cover. The top view shows a diameter of $\varnothing 180$. The side elevation shows a height of 44. The cross-section view shows a diameter of $\varnothing 170$.

Référence produit

QS42: Frame Ø 170 - Flood beam - LED

Description technique

Appareil annulaire formé de 18 éléments optiques pour sources LED - optiques fixes. Le système optique garantit un très haut confort visuel sans éblouissement. Le corps comprend la surface radiante, en aluminium moulé sous pression. Version avec collerette périphérique de butée comprise. Réflecteurs à haute définition en matière thermoplastique métallisée aux vapeurs d'aluminium sous vide, intégrés et positionnés en retrait par rapport à l'écran filtrant. Équipé d'une unité d'alimentation raccordée à l'appareil.

Installation

À encastrer avec ressorts en fil d'acier pour faux-plafonds de 1 à 25 mm - ouverture pour installation Ø 170.

Coloris

Blanc (01) | Noir/Noir (43) | Blanc/Noir (47) | Blanc/Or (41)* |
Blanc / chrome bruni (E7)*

Poids (Kg)

0.68

* Couleurs sur demande

Montage

encastré au plafond

Câblage

Sur l'unité d'alimentation avec bornier compris. Disponible en versions DALI.

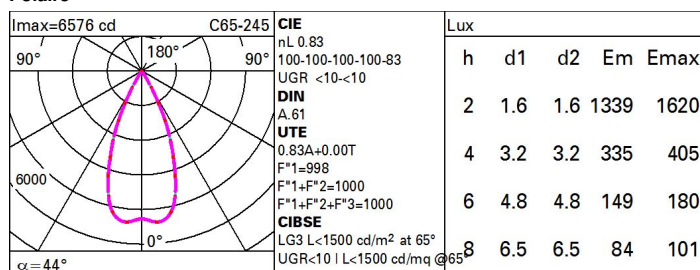
Conforme à la norme EN60598-1 et à la réglementation en vigueur (o 'à la réglementation relative')



Données techniques

| | | | |
|--|------|--------------------------------------|-------------------------------|
| Im du système: | 3320 | Température de couleur [K]: | 4000 |
| W du système: | 39.1 | MacAdam Step: | 2 |
| Im source: | 4000 | Durée de vie LED 1: | 50,000h - L90 - B10 (Ta 25°C) |
| W source: | 36 | Voltage [V]: | 230 |
| Efficacité lumineuse (lm/W, valeurs du système): | 84.9 | Code Lampe: | LED |
| Im en mode secours: | - | Nombre de lampes par groupe optique: | 1 |
| Flux total émis à un angle de 90° ou plus [Lm]: | 0 | Code ZVEI: | LED |
| Light Output Ratio (L.O.R.) [%]: | 83 | Nombre de groupes optiques: | 1 |
| Angle d'ouverture [°]: | 44° | Control: | DALI-2 |
| IRC (minimum): | 90 | | |

Polaire



Coefficients d'utilisation

| R | 77 | 75 | 73 | 71 | 55 | 53 | 33 | 00 | DRR |
|------|----|----|----|----|----|----|----|----|-----|
| K0.8 | 75 | 71 | 68 | 66 | 70 | 68 | 68 | 65 | 78 |
| 1.0 | 78 | 75 | 72 | 70 | 74 | 72 | 71 | 69 | 83 |
| 1.5 | 82 | 80 | 77 | 76 | 79 | 77 | 76 | 74 | 89 |
| 2.0 | 85 | 83 | 81 | 80 | 82 | 80 | 79 | 77 | 93 |
| 2.5 | 86 | 85 | 84 | 83 | 84 | 83 | 82 | 79 | 96 |
| 3.0 | 87 | 86 | 85 | 85 | 85 | 84 | 83 | 81 | 98 |
| 4.0 | 88 | 87 | 87 | 86 | 86 | 86 | 84 | 82 | 99 |
| 5.0 | 89 | 88 | 88 | 88 | 87 | 86 | 85 | 83 | 100 |

Courbe limite de luminance

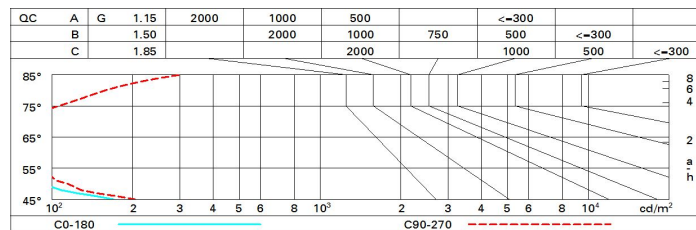


Diagramme UGR

| Corrected UGR values (at 4000 lm bare lamp luminous flux) | | | | | | | | | | | |
|--|------|---------------------|------|------|------|------|-------------------|------|------|------|------|
| Reflect.: ceiling/cav walls work pl. Room dim x y | | viewed crosswise | | | | | viewed endwise | | | | |
| | | 0.70 | 0.70 | 0.50 | 0.50 | 0.30 | 0.70 | 0.70 | 0.50 | 0.50 | 0.30 |
| | | 0.50 | 0.30 | 0.50 | 0.30 | 0.30 | 0.50 | 0.30 | 0.50 | 0.30 | 0.30 |
| | | 0.20 | 0.20 | 0.20 | 0.20 | 0.20 | 0.20 | 0.20 | 0.20 | 0.20 | 0.20 |
| 2H | 2H | 2.2 | 2.7 | 2.4 | 3.0 | 3.2 | 2.4 | 3.0 | 2.7 | 3.3 | 3.5 |
| | 3H | 2.0 | 2.5 | 2.3 | 2.8 | 3.1 | 2.3 | 2.8 | 2.6 | 3.1 | 3.4 |
| | 4H | 2.0 | 2.4 | 2.3 | 2.7 | 3.0 | 2.2 | 2.7 | 2.6 | 3.0 | 3.3 |
| | 6H | 1.9 | 2.3 | 2.2 | 2.6 | 3.0 | 2.2 | 2.6 | 2.5 | 2.9 | 3.2 |
| | 8H | 1.8 | 2.3 | 2.2 | 2.6 | 2.9 | 2.1 | 2.5 | 2.5 | 2.9 | 3.2 |
| | 12H | 1.8 | 2.2 | 2.2 | 2.5 | 2.9 | 2.1 | 2.5 | 2.5 | 2.8 | 3.2 |
| 4H | 2H | 2.0 | 2.4 | 2.3 | 2.7 | 3.0 | 2.2 | 2.7 | 2.6 | 3.0 | 3.3 |
| | 3H | 1.8 | 2.2 | 2.2 | 2.5 | 2.9 | 2.1 | 2.5 | 2.5 | 2.8 | 3.2 |
| | 4H | 1.7 | 2.1 | 2.1 | 2.4 | 2.8 | 2.0 | 2.4 | 2.4 | 2.7 | 3.1 |
| | 6H | 1.6 | 1.9 | 2.0 | 2.3 | 2.8 | 1.9 | 2.2 | 2.3 | 2.6 | 3.0 |
| | 8H | 1.6 | 1.9 | 2.0 | 2.3 | 2.7 | 1.9 | 2.2 | 2.3 | 2.6 | 3.0 |
| | 12H | 1.5 | 1.8 | 2.0 | 2.2 | 2.7 | 1.8 | 2.1 | 2.3 | 2.5 | 3.0 |
| 8H | 4H | 1.6 | 1.9 | 2.0 | 2.3 | 2.7 | 1.9 | 2.2 | 2.3 | 2.6 | 3.1 |
| | 6H | 1.5 | 1.7 | 2.0 | 2.2 | 2.6 | 1.8 | 2.1 | 2.3 | 2.5 | 3.0 |
| | 8H | 1.4 | 1.6 | 1.9 | 2.1 | 2.6 | 1.8 | 2.0 | 2.3 | 2.4 | 2.9 |
| | 12H | 1.4 | 1.6 | 1.9 | 2.0 | 2.6 | 1.7 | 1.9 | 2.2 | 2.4 | 2.9 |
| 12H | 4H | 1.5 | 1.8 | 2.0 | 2.2 | 2.7 | 1.9 | 2.2 | 2.4 | 2.6 | 3.0 |
| | 6H | 1.4 | 1.6 | 1.9 | 2.1 | 2.6 | 1.8 | 2.0 | 2.3 | 2.5 | 3.0 |
| | 8H | 1.4 | 1.6 | 1.9 | 2.0 | 2.6 | 1.8 | 2.0 | 2.3 | 2.4 | 3.0 |
| Variations with the observer position at spacing: | | | | | | | | | | | |
| S = | 1.0H | 6.9 / -19.8 | | | | | 6.8 / -11.5 | | | | |
| | 1.5H | 9.8 / -20.9 | | | | | 9.6 / -11.7 | | | | |
| | 2.0H | 11.8 / -21.3 | | | | | 11.6 / -12.0 | | | | |